



## بررسی آزمایشگاهی هیدرولیک جریان در سرریزهای پله‌ای توری سنگی

سینا رازی، فرزین سلماسی\*، علی حسین زاده دلیر

دانشکده کشاورزی، دانشگاه تبریز، تبریز، ایران

**خلاصه:** در این تحقیق با استفاده از مدل فیزیکی، مؤلفه‌های مختلفی که بر روی افت انرژی جریان عبوری از روی سرریزهای پله‌ای توری سنگی مؤثر هستند، مطالعه و با نتایج دیگر محققان نیز مقایسه صورت گرفته است. جریان عبوری از سرریز توری سنگی هم به صورت درون گذر و هم به صورت روگذر انجام گرفت. دامنه دبی بکار رفته در این تحقیق در محدوده ۵ الی ۶۵ لیتر بر ثانیه است. از ذرات یکنواخت با سه قطر متوسط ۱۰، ۲۵ و ۴۰ میلی متر استفاده شد. ارتفاع و عرض مدل های فیزیکی ساخته شده از سرریز پلکانی توری سنگی به ترتیب ۶۰ و ۴۰ سانتی متر، با پله‌های ۳ تابی و

دریافت: ۱۳۹۸/۰۷/۲۸

بازنگری: ۱۳۹۹/۰۱/۱۵

پذیرش: ۱۳۹۹/۰۱/۱۶

ارائه آنلاین: ۱۳۹۹/۰۲/۰۸

**کلمات کلیدی:**

توری سنگی

سرریز پله‌ای

آستانه مستطیلی

آستانه شیب دار

افت انرژی

شیب نمای پایین دست سرریزها (افقی: عمودی) ۱:۲، ۱:۳ و ۱:۲ هستند. آستانه‌های انتهایی به کار گرفته شده مستطیلی و شیب دار هستند. نتایج نشان داد که تأثیر آستانه‌ها در سرریزهای پله‌ای توری سنگی با شیب نمای پایین دست کمتر، بیشتر از حالتی است که سرریز دارای شیب نمای پایین دست تندتر است. تأثیر آستانه‌ها بر افت انرژی جریان در سرریز با مصالح ۴۰ میلی متر و شیب نمای پایین دست ۱:۲ حدود ۱۰ درصد بیشتر از همان سرریز با شیب نمای پایین دست ۱:۱ بوده و در سرریز با مصالح ۱۰ میلی متر و شیب نمای پایین دست ۱:۲ حدود ۳۰ الی ۳۵ درصد بیشتر از همان سرریز با شیب نمای پایین دست ۱:۱ است. لذا وجود آستانه‌ها در سرریز پله‌ای با بدنه مصالح ۱۰ و ۴۰ میلی متر به ترتیب بیشترین و کمترین تأثیر را بر افت انرژی جریان دارند. از طرفی تأثیر آستانه مستطیلی بر افت انرژی جریان حدود ۳ الی ۴ درصد بیشتر از تأثیر آستانه مثلثی است.

### ۱- مقدمه

[۱]. سرریزهای توری سنگی در حوضه‌های آبریز برای کنترل فرسایش سیلان‌ها و بالا بردن سطح آب برای آبگیری در کانال‌های آبیاری مورد استفاده قرار می‌گیرند. بیشتر مطالعات انجام شده، بر روی سرریزهای صلب نفوذ ناپذیر بوده است و بر روی سرریزهای توری سنگی (نفوذپذیر) که دارای مزایای بسیاری است، تحقیق‌های کمتری صورت گرفته است. از جمله مزایای سرریزهای توری سنگی سهولت در اجرا، استفاده از مصالح قرضه، پایداری، انعطاف‌پذیری، نفوذ‌پذیری بالا، مقرنون به صرفه بودن و مهم‌تر از همه سازگار بودن با محیط زیست است [۲]. این نوع سرریزها از انعطاف بیشتری نسبت به نوع صلب آن برخوردار بوده و در مقابل بارهای ناشی از فشار

سرریزهای پله‌ای مجموعه‌ای از پله‌هایی است که از تاج سرریز شروع و تا پنجه پایین دست آن ادامه می‌یابد. به دلیل تأثیر پله‌ها بر افزایش میزان استهلاک انرژی جریان، در سال‌های اخیر توجه زیادی به این نوع سرریزها شده است. میزان استهلاک زیاد انرژی توسط سرریزهای پله‌ای باعث کاهش عمق حفاری، طول و ارتفاع حوضچه‌های آرامش و در نتیجه کاهش هزینه‌های ساخت حوضچه می‌شود. سرریزهای پله‌ای و کانال‌های پله‌ای قدیمی ترین سازه‌های هیدرولیکی هستند و قدمت آنها به حدود ۳۵۰۰ سال می‌رسد

\* نویسنده عهده‌دار مکاتبات: Salmasi@tabrizu.ac.ir



داد. ایشان مهم‌ترین پارامتر مؤثر در افت انرژی را نسبت عمق بحرانی به ارتفاع پله ( $y/h$ ) و تعداد پله‌ها ( $N$ ) اعلام کردند. همچنین نشان دادند که به ازای یک مقدار دبی معین، با افزایش  $Nh$  (که تقریباً برابر با کل ارتفاع سرریز است)، افت انرژی نسبی کاهش می‌یابد [۸]. چمنی و راجارتانم<sup>۹</sup> (۱۹۹۹) اظهار داشتند که افت انرژی نسبی در سرریزهای پله‌ای در محدوده ۴۸ الی ۶۳ درصد است. همچنین اعلام کردند که به ازای یک مقدار دبی مشخص و  $h/l$  (ارتفاع پله و طول افقی پله) یکسان،  $h$  بزرگ‌تر دارای افت انرژی بیشتری است [۹]. فراتینو و پیکینی<sup>۱۰</sup> (۲۰۰۰) آزمایش‌های خود را بر روی سرریزهای پله‌ای و در زوریخ سوئیس انجام دادند. ایشان به این نتیجه رسیدند که با کاهش شبکه نمای پایین دست سرریز، زمانی که رژیم جریان انتقالی و غیرریزشی است، انرژی بیشتری از جریان مستهلك می‌شود [۱۰]. چاتورابول<sup>۱۱</sup> (۲۰۰۲) آزماس‌هایی برای بررسی افت انرژی و سرعت جریان در کانال‌های پله‌ای با آستانه انتهایی<sup>۱۲</sup> و با ارتفاع پله‌های ۵، ۱۰ و ۱۵ میلی‌متر انجام دادند و به این نتیجه رسیدند که وجود آستانه انتهایی باعث افزایش افت انرژی نسبی تا حدود ۸ درصد می‌شود [۱۱]. چیناراسری و ونگ وایز<sup>۱۳</sup> (۲۰۰۶) آزمایش‌هایی بر روی سرریزهای پله‌ای با شبکه پله معکوس، با آستانه انتهایی و ساده انجام دادند. نتایج آن‌ها نشان داد که پله‌های شبکه دار، استهلاک انرژی را تا ۱۰ درصد افزایش می‌دهد و آستانه انتهایی بیشتر از شبکه پله معکوس بر استهلاک انرژی مؤثر است. همچنین ایشان ثابت کردند که هرچه ارتفاع آستانه افزایش یابد، به تناسب آن استهلاک انرژی نیز بیشتر می‌شود. نتایج آن‌ها نشان داد که به ازای یک مقدار مشخص از  $y/h$  (عمق بحرانی)، افت انرژی نسبی با افزایش پله‌ای افزایش می‌یابد [۱۲]. حامدی و همکاران (۲۰۱۱) سرریزهای پله‌ای با شبکه معکوس و با آستانه انتهایی را مورد مطالعه قرار دادند. نتایج آن‌ها نشان داد که بکارگیری هم‌زمان پله‌های شبکه دار معکوس با آستانه انتهایی دارای بیشترین تأثیر در مقدار افت انرژی بوده و زاویه فوقانی آستانه انتهایی دارای کم‌ترین تأثیر در مقدار افت انرژی جریان است [۱۳]. سلماسی و همکاران (۲۰۱۲) آزمایش‌هایی را بر روی سرریز پله‌ای توری سنگی با تخلخل‌های ۳۸ و ۴۰ و ۴۲ درصد

آب، مقاوم و پایدار هستند. استهلاک انرژی جریان از روی چنین سازه‌هایی به دلیل وجود جریان درون گذر<sup>۱</sup> و روگذر<sup>۲</sup> پله‌ها زیاد بوده و لذا هزینه‌های ساخت حوضچه آرامش کاهش می‌یابد [۳]. از دیدگاه کیفیت آب، مواد فیزیکی و شیمیایی از قبیل مواد آلی معلق و تهنشین می‌توانند از بین دانه‌های نفوذپذیر به پایین دست عبور کنند و این روند، رسوب و انباست آب در آبگیر را به حداقل می‌رساند. لابهای این سنگ‌ها باکتری‌هایی که در سطح دانه‌ای ساکن هستند، ممکن است باعث تجزیه شدن مواد آلی گردند. این واکنش بیوشیمیایی (زیستی-شیمیایی) زمانی که جریان از بین سنگ‌ها عبور می‌کند، منجر به تصفیه آب رودخانه یا کanal می‌شود. همچنین تلاطم به وجود آمده در محیط سنگ‌دانه‌ای، هوادهی کل آب-هو را با کمک تجزیه هوایی مواد آلی تقویت می‌کند. از این‌رو، سرریز گابیونی یک سازه با حداقل اثرات منفی بر روی محیط زیست آبی بوده که نسبت به سرریزهای غیرقابل نفوذ ساخته شده اخیر، بسیار با محیط زیست سازگارتر است [۴].

سورنسن<sup>۱۵</sup> (۱۹۸۵) آزمایش‌های خود را بر روی سرریز پله‌ای صلب با تاج اوچی انجام داد و بیان کرد که پله‌ها به میزان چشم‌گیری انرژی جریان را نسبت به سرریزهای صاف مستهلك می‌کنند [۵]. پیراس و همکاران<sup>۱۶</sup> (۱۹۹۲) تحقیقاتی خود را در یک فلوم به عرض ۸۰ سانتی‌متر با شبکه نمای پایین دست ۱:۱، ۲:۱ و ۳:۱ انجام دادند. هدف آن‌ها تخمین افت انرژی جریان و تعیین ابعاد هندسی حوضچه آرامش در پایین دست سرریز بود. آن‌ها چهار مدل از پله‌ها را مورد مطالعه قرار دادند: پله‌های تخت (صاف) بدون حفاظ، پله‌های دارای حفاظ بتی، پله‌های دارای حفاظ بتی با شبکه معکوس و پله‌های دارای آستانه انتهایی. نتایج آزمایش‌های آن‌ها در مقایسه با آزمایش‌های رند (۱۹۵۵) [۶] که بر روی پله‌های بتی صلب انجام شده بود، ۱۰ درصد استهلاک انرژی بیشتری را نشان داد که علت آن را می‌توان به اختلاف در سطح زبری و نفوذپذیری گابیون و شبکه سرریز نسبت داد. هم‌چنین نتایج آن‌ها نشان داد که نفوذناپذیر کردن کف پله‌ها از استهلاک انرژی جریان می‌کاهد [۷]. کریستودولو<sup>۱۷</sup> (۱۹۹۳) آزمایش‌های خود را بر روی سرریز پله‌ای صلب با تاج اوچی انجام

<sup>6</sup> Chamani and Rajaratnam

<sup>7</sup> Fratino and Piccinni

<sup>8</sup> Chaturabul

<sup>9</sup> End sill

<sup>10</sup> Chinnarasri and Wongwises

<sup>1</sup> Inflow

<sup>2</sup> Overflow

<sup>3</sup> Sorensen

<sup>4</sup> Peyras et al.

<sup>5</sup> Christodoulou

جريان کمتر می شود و افت انرژی در دبی های بزرگ تر در سرریز پله ای توری سنگی کمتر از آن در سرریز پله ای غیرقابل نفوذ است [۱۸]. ژانگ و چانسون<sup>۵</sup> (۲۰۱۶) آزمایش های خود را برای بررسی مقاومت جريان بر روی سرریز پله ای توری سنگی انجام دادند. نتایج آن ها نشان داد که ضریب اصطکاک تحت شرایط یکسان در سرریز پله ای توری سنگی حدوداً نصف آن مقدار در سرریز پله ای صاف می باشد و این مقدار با افزایش شدت جريان افزایش یافته و مقدار آن در جريان های غیرریزشی بیشتر از جريان های انتقالی می گردد [۱۹]. توضیح این که کاهش استهلاک انرژی برای سرریزهای گابیونی پله ای نسبت به پله های صاف، تحت شرایط جريان غیرریزشی رخ می دهد. فرض محققان نامبرده بر این بوده که در جريان غیرریزشی با افزایش دبی، حرکت چرخشی حفره ای تحت تأثیر نشست دبی از داخل سازه به حفره های پله و سطح پله، تغییر کرده (از بین می رود و یا کمتر می شود) و این مسئله منجر به کاهش مقاومت جريان و کاهش افت انرژی در سرریزهای پله ای صاف، جريان چرخشی زیاد در فضای می گردد. در سرریزهای پله ای صاف، جريان چرخشی زیاد در فضای مثلثی شکل پای هر پله، عامل مهمی در افزایش استهلاک انرژی تشخیص داده شده است که در سرریزهای گابیونی به دلیل نفوذ آب به حفره ها، اثر چرخشی آب کاهش می یابد. البته لازم به یادآوری است که این یافته ها برای خود محققین نیز غیرمنتظره بوده است و به نظر می رسد که تحقیقات بیشتری در این خصوص لازم خواهد بود.

اسدی و همکاران (۲۰۱۵) آزمایش هایی را بر روی یک سرریز ۶۱ پله ای با شیب نمای پایین دست ۳۳ درصد انجام دادند. نتایج آن ها نشان داد که افت انرژی نسبی به پارامترهایی نظیر شدت جريان، ارتفاع و طول آستانه بستگی دارد و بهترین آستانه که دارای بیشترین ارتفاع پله سرریز و ۰/۲۵ برابر طول پله سرریز است. همچنین با نصب آستانه بر روی هر پله، مقدار افت انرژی حدود ۴ الی ۱۱ درصد نسبت به حالت پله بدون آستانه افزایش می یابد [۲۰]. النیخلی<sup>۶</sup> (۲۰۱۷) آزمایش های خود را بر روی سرریز دارای بلوك های استوانه ای انجام داد و میزان آب شستگی رخ داده در پایین دست سرریز را مورد مطالعه قرار داد. سرریز مورد مطالعه در کار ایشان دارای عرض ۳۰ سانتی متر، ارتفاع ۲۴/۵ سانتی متر و شیب نمای پایین دست ۳۰ درجه

و شب نمای پایین دست ۱:۱ و ۱:۲ که وجوده عمودی و افقی پله ها با و بدون پوشش بودند، انجام دادند. نتایج آن ها نشان داد که پله ها با وجوده عمودی غیرقابل نفوذ دارای افت انرژی بیشتری نسبت به وجوده افقی غیرقابل نفوذ بوده و با افزایش تخلخل و کاهش شب، افت انرژی جريان نیز افزایش می یابد [۳].

تیونا (۲۰۱۲) و تیونا و امیراگلو<sup>۱</sup> (۲۰۱۳) آزمایش های خود را بر روی آب شستگی موضعی در پایین دست سرریزهای پله ای انجام دادند. نتایج آن ها نشان داد که با افزایش شب سرریز و شدت دبی جريان، عمق آب شستگی در پایین دست سرریز نیز افزایش می یابد. همچنین نتایج آن ها نشان داد که نسبت ارتفاع پله به طول پله، تأثیر قابل توجهی بر گسترش آب شستگی دارد. برای کمترین نسبت ارتفاع پله به طول پله برابر با ۰/۵۷۷ بیشترین میزان آب شستگی رخ می دهد [۱۵، ۱۴]. زار و دورینگ<sup>۲</sup> (۲۰۱۲) آزمایش هایی را بر روی سرریزهای پله ای گردگوش و سرریزهای پله ای معمولی (پله های تیز گوش) انجام دادند. نتایج نشان داد که سرریزهای پله ای گردگوش از نرژی جريان را ۳ درصد بیشتر از سرریزهای پله ای معمولی مستهلك می کنند [۱۶]. فلدر و چانسون<sup>۳</sup> (۲۰۱۴) آزمایش های خود را بر روی سرریز پله ای با شیب نمای پایین دست ۲۶/۶ درجه که در انتهای پله ها سه آستانه انتهایی با تخلخل های مختلف صفر، ۵ و ۳۱ درصد قرار داشت، انجام دادند. نتایج نشان داد که انرژی باقیمانده در سرریز پله ای با آستانه های انتهایی با تخلخل های مختلف صفر، ۵ و ۳۱ درصد حدود ۱/۳ و ۱/۵ الی ۲ برابر بیشتر از انرژی باقیمانده در سرریز پله ای با آستانه های انتهایی بدون تخلخل است. همچنین استفاده از صفحات صاف (بدون آستانه) را به دلیل ثبات جريان و عملکرد بهتر استهلاک انرژی پیشنهاد دادند [۱۷] واٹریک و چانسون<sup>۴</sup> (۲۰۱۴) آزمایش های خود را بر روی سرریز پله ای توری سنگی با و بدون مانع صلب بر روی پله ها انجام دادند و میزان هوادهی در این سرریزها را مورد بررسی قرار دادند. نتایج آن ها نشان داد که در دبی های کمتر، تولید هوادهی در پله های توری سنگی افزایش می یابد و با افزایش دبی و شکل گیری جريان غیرریزشی، تولید هوادهی در سرریزهای پله ای صاف غیرقابل نفوذ بیشتر می شود. همچنین اعلام کردند که در سرریزهای پله ای توری سنگی میزان تعداد حباب ها و شدت تلاطم

<sup>1</sup> Tuna and Emiroglu

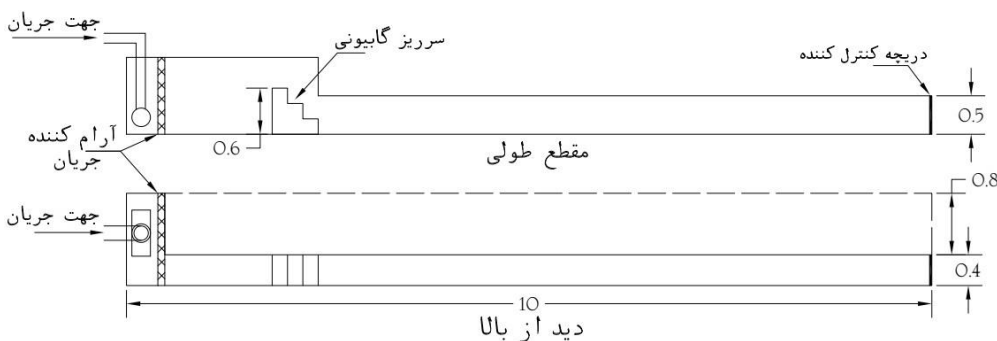
<sup>2</sup> Zare and Doering

<sup>3</sup> Felder and Chanson

<sup>4</sup> Wuthrich and Chanson

<sup>5</sup> Zhang and Chanson

<sup>6</sup> Elnikhely



شکل ۱. نمایی از فلوم آزمایشگاهی و محل قرارگیری پلهای سرریز سنگی (ابعاد بر حسب متر)

Fig. 1. View of the laboratory flow and location of the stepped gabion spillway (dimensions in meters)

منابع طبیعی خراسان رضوی انجام دادند. نتایج آن‌ها نشان داد که با افزایش دبی، تلفات انژری در سرریزهای توری سنگی بدون رسوبات بیشتر از آن در سرریزهای توری سنگی دارای رسوبات است [۲۳]. صدریان زاده و همکاران (۱۳۹۶) مطالعات خود بر روی غلظت هوای مخلوط با جریان آب در نقاط مختلف روی سرریز پله‌ای در جریان غیر ریزشی با مدل فلوئنت و مدل فیزیکی انجام دادند. نتایج نشان داد که با افزایش دبی جریان، غلظت هوای محلول در آب کاهش می‌یابد [۲۴].

مطابق توضیحات بالا، بیشتر مطالعات صورت گرفته شده بر روی سرریزهای پله‌ای صلب بوده است. از طرفی اهمیت سرریزهای توری سنگی در بخش محیط زیست و کاربردی بودن این سازه‌ها در پروژه‌های مهندسی رودخانه واضح است. لذا هدف از انجام این تحقیق مطالعه آزمایشگاهی هیدرولیک جریان از روی سرریزهای پله‌ای توری سنگی، مطالعه آستانه‌های مستطیلی و شبیه دار توری سنگی به عنوان جنبه‌های نوآوری مورد نظر در این تحقیق و تأثیر آن‌ها بر تغییرات افت انژری جریان و ارائه روابط ریاضی برای تشخیص جریان غیر ریزشی و تخمین افت انژری جریان است.

## ۲- مواد و روش‌ها

آزمایش‌های این تحقیق در آزمایشگاه هیدرولیک دانشگاه تبریز، گروه مهندسی آب انجام شد. مطابق شکل ۱ آزمایش‌ها بر روی فلوم فلزی-شبیه‌ای افقی به طول ۱۰ متر، عرض ۰/۴ متر که ۲ متر طول اول آن دارای ارتفاع ۱ متر و مابقی طول آن به ارتفاع ۰/۵ متر است، با شبیه کف ثابت صورت گرفت. جنس کف فلوم از آهن گالوانیزه و جنس

بود. در پایین دست سرریز، خاک سنگی به ضخامت ۱۰ سانتی‌متر با مشخصات  $d_{50}$  و  $d_{84}$  به ترتیب برابر با ۱/۷ و ۲/۲۸ میلی‌متر استفاده شد. نتایج ایشان نشان داد که سرریز با بلوک‌های استوانه‌ای به ابعاد  $D/B$  و  $L/B$  به ترتیب برابر با ۰/۱۳۳ و ۰/۱ و  $D$  به ترتیب طول و قطر بلوک استوانه و  $B$  عرض کanal) نسبت به حالتی که سرریز صاف است، مقادیر  $L_s/y_{us}$  و  $d_s/y_{us}$  به ترتیب تا حدود ۲۵ درصد و ۲۷ درصد کاهش می‌یابد ( $d_s$  و  $L_s$  به ترتیب حداقل عمق و حداقل طول آب‌شستگی و  $y_{us}$  و  $y_{up}$  به ترتیب عمق آب بالا دست و پایین دست) [۲۱]. آل و همکاران<sup>۱</sup> (۲۰۱۷) تحقیقات آزمایشگاهی خود را بر روی سرریزهای پله‌ای موج شکن دار مستطیلی به منظور تخمین افت انژری مورد مطالعه قرار دادند. اولین حالت سرریز پله‌ای بدون موج شکن و حالت‌های بعدی با موج شکن و نسبت‌های  $h_b/h_s$  (ارتفاع موج شکن و  $h_s$  ارتفاع پله) برابر با ۰/۲، ۰/۶، ۰/۴ و ۱ در نظر گرفته شد. نتایج نشان داد که سرریزهای پله‌ای موج شکن دار افت انژری موج شکن داده و وجود حفره (کوچک یا بزرگ) در داخل موج شکن‌ها نتایجی بهتر از موج شکن‌های بدون حفره یا سرریز پله‌ای کلاسیک (بدون موج شکن) داشت. همچنین نشان دادند که بیشترین مقدار افت انژری در سرریز پله‌ای موج شکن دار با مشخصات  $h_b/h_s$  برابر با ۰/۸ رخ می‌دهد و وجود سه حفره در داخل موج شکن‌ها دارای بیشترین افت انژری خواهد بود [۲۲].

رجایی و همکاران (۱۳۹۶) آزمایش‌های خود را بر روی سرریزهای پله‌ای توری سنگی تحت شرایط بدون رسوب و با رسوب گذاری در بالا دست سرریز در آزمایشگاه هیدرولیک مرکز تحقیقات کشاورزی و

## جدول ۱. جزئیات ابعادی آستانه های مستطیلی و شبیدار به کار گرفته شده در تحقیق حاضر

Table 1. Details of geometrical dimensions used in this study for rectangular and inclined sills

آستانه مستطیلی	$h_b/h_s$	.	۰/۲	۰/۴	۰/۵
	$l_b/h_s$	-	۰/۲۵	۰/۲۵	۰/۲۵
آستانه شبیدار	$h_a/h_s$	-	.	۰/۲۵	۰/۵
	$l_a/h_s$	-	-	۰/۵	۰/۵

## جدول ۲. تعداد آزمایش های انجام شده و محدوده متغیرها

Table 2. Number of experimental data and limit of variables

تعداد کل آزمایشها	عدد فروند	عدد رینولدز	تغییرات دبی (لیتر بر ثانیه)	آستانه
۳۹۱	۰/۴-۴/۸	$10^4 - 10^5 \times 10^{-5}$	۵-۶۵	

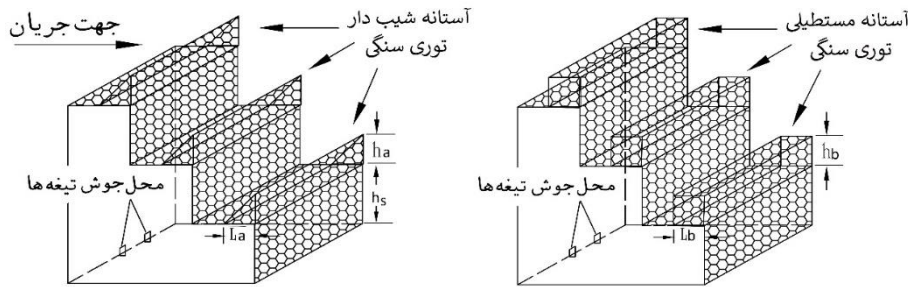
و ونگ وايز [۲۵]، زار و دورینگ [۱۶] و استفسنсон<sup>۱</sup> [۲۶] نیز انجام شده است. ارتفاع و عرض مدل های فیزیکی ساخته شده از سرریز پلکانی توری سنگی ثابت و به ترتیب ۶۰ و ۴۰ سانتی متر، با پله های ۳ تایی و شبی نمای پایین دست سرریزها ۱:۱، ۱:۲ و ۱:۳ (افقی، ۱ قائم) است. آستانه های انتهایی بکار گرفته شده در این تحقیق مستطیلی و شبیدار (به صورت توری سنگی) هستند که جزئیات آن ها در جدول ۱ و شکل ۱ آمده است. تعداد کل آزمایش های انجام شده و محدوده تغییرات متغیرها در جدول ۲ ارائه شده است (لزجت سینماتیکی آب در دمای ۲۰ درجه سانتی گراد معادل  $v=10^{-6} \text{ m}^2/\text{s}$  فرض شده است).

در جدول ۲، اعداد فروند و رینولدز نیز به ترتیب از روابط  $F_r = V_r/(gV_r)^{0.5}$  و  $R_e = V_r R / v$  تعیین شدند. در روابط مذکور  $V_r$  و  $y_r$  به ترتیب سرعت و عمق جریان در پایین دست سرریز،  $R$  شاعر هیدرولیکی،  $g$  شتاب ثقل زمین و  $v$  لزجت سینماتیکی آب است.

مطابق جدول ۲، جریان زیر بحرانی در بالادست سرریز هنگام عبور از روی سرریز، به جریان فوق بحرانی تبدیل می شود و اعداد فروند بیشتر از یک را بدست می دهند. البته اعداد فروند بیشتر از یک مربوط به دبی های زیاد است و چون جریان درون گذر هم اتفاق افتاده، لذا اعداد فروند کمتر از یک نیز مربوط به دبی های کمتر و افت زیاد سرعت در برخورد جریان با ذرات سنگ داخل گابیون می باشد.

<sup>1</sup> Stephenson

دیواره های آن از شبشه با ضخامت ۱۰ میلی متر است. دبی جریان در آزمایش ها با استفاده از دستگاه اولتراسونیک که در ابتدای لوله ورودی جریان آب به کanal نصب شده بود، اندازه گیری شد. دبی های اندازه گیری شده توسط دستگاه اولتراسونیک با دبی های اندازه گیری شده توسط سرریز مستطیلی که از قبل کالیبره شده بود، مقایسه شد و میانگین اختلاف حاصله حدوداً ۵ درصد بدست آمد. برای آرام کردن جریان آب در ابتدای کanal، از یک جعبه فلزی متخلخل استفاده شد. در این تحقیق از ذرات کاملاً یکنواخت با سه قطر متوسط ( $d_{50} = 10, 25$  و ۴۰ میلی متر) استفاده شده است. دو ریل موازی در بالای بدنه کanal، برای حرکت عمق سنج صوتی با فرکانس نمونه برداری ۲۰ هرتز و دقت اندازه گیری ۱۲ بیت برای اندازه گیری عمق آب نصب و استفاده شد. نحوه کالیبره کردن عمق سنج صوتی به این شکل است که ابتدا چند جعبه با ابعاد مشخص را زیر عمق سنج قرار داده سپس ارتفاع مربوط به جعبه های مذکور به نرمافزار مخصوص عمق سنج معرفی شد و ضرایب مربوط به کالیبره را بعد از چند بار آزمون و خطا و با استفاده از روابط ارائه شده توسط شرکت سازنده آن و به صورت دستی محاسبه و در پایان به نرمافزار معرفی شد. از آنجا که اندازه گیری عمق آب در پایین دست آخرین پله سرریز به دلیل تلاطم زیاد، منجر به نتایج نادرست می شود، لذا عمق جریان در پایین دست سرریز به فاصله سه الی چهار برابر طول پله ها و حداقلتر به فاصله یک متر از آخرين وجه پله سرریز، جايی که اختلاط آب با هوا به حداقل می رسد، اندازه گیری شد. اين روش قبلاً توسط چیناراسرى



شکل ۲. نمایی کلی از جزئیات سرربیز پلهای و آستانه های مستطیلی و شیبدار

Fig. 2. 3D view of gabion stepped spillway details including rectangular and inclined end sills

$$f \left( \frac{\Delta E}{E_0}, \frac{q^2}{gH_w^3}, \frac{d_{50}}{y_c}, \frac{y_c}{H_w}, \frac{y_c}{h_s}, \frac{h_s}{l_s}, \frac{h_a}{h_s}, \frac{h_b}{h_s}, \frac{l_a}{l_s}, \frac{l_b}{l_s}, \frac{V}{\sqrt{gy}}, \frac{V_y}{v}, \frac{\rho V^2 y}{\sigma} \right) = 0 \quad (2)$$

در معادله (۲)،  $E_0$  عبارت است از انرژی مخصوص قبل از سرربیز در بالادست،  $E_1$  انرژی مخصوص بعد از سرربیز در پایین دست و  $E$  نشان‌دهنده استهلاک انرژی بین بالادست و پایین دست سرربیز  $F_r = V/l_s$  هستند. همچنین  $S = h_s/l_s$  شیب نمای پایین دست سرربیز،  $R_e = V/(gy)^{0.5}$  نشان‌دهنده عدد فرود،  $R_c = V/(gy)^{0.5}$  نشان‌دهنده عدد رینولذز و  $W_n = V^2 y / (R_e R_c)$  نشان‌دهنده عدد وبر هستند. در معادله (۲) عدد وبر ( $W_n$ ) به دلیل کم بودن اثر کشش سطحی قابل حذف است. همچنین عدد رینولذز ( $R_e$ ) به دلیل متلاطم بودن جریان قابل صرف‌نظر است. در معادله (۲) عوامل بی بعد  $l_a/l_s$  و  $l_b/l_s$  در مدل‌های فیزیکی ثابت بوده و لذا در این مطالعه حذف شده‌اند.

عوامل  $E_\rho$ ,  $E_p$ ,  $E$  به شرح معادلات (۳) تا (۵) تعریف می‌شوند.

$$E_0 = H_w + y + \frac{V_0^2}{2g} = H_w + y + \frac{q^2}{2gy^2} = H_w + 1.5y_c \quad (3)$$

$$E_1 = y_1 + \frac{V_1^2}{2g} = y_1 + \frac{q^2}{2gy_1^2} \quad (4)$$

$$\Delta E = E_0 - E_1 \quad (5)$$

با توجه به توضیحات فوق‌الذکر، معادله نهایی برای محاسبه استهلاک انرژی به صورت معادله (۶) خلاصه می‌شود.

### ۳- تئوری و آنالیز ابعادی

پارامترهای مؤثر در آنالیز ابعادی شامل عوامل مربوط به خصوصیات هندسی و هیدرولیکی جریان از روی سرربیز پلهای هستند. پارامترهای مربوط به خصوصیات هندسی عبارتند از: ارتفاع آستانه مثلثی ( $h_a$ )، ارتفاع آستانه مستطیلی ( $h_b$ )، ارتفاع سرربیز ( $H_w$ )، طول پله ( $l_s$ )، ارتفاع پله ( $h_s$ )، طول آستانه مستطیلی ( $l_b$ )، طول آستانه مثلثی ( $l_a$ ) و قطر متوسط ذرات سنگی ( $d_{50}$ ).

پارامترهای مربوط به خصوصیات هیدرولیکی عبارتند از: عمق بحرانی ( $y_c$ )، عمق آب بالادست سرربیز ( $y$ )، سرعت آب بالادست سرربیز ( $V$ )، جرم مخصوص آب ( $\rho$ )، لزجت سینماتیکی آب ( $\nu$ )، کشش سطحی آب ( $\sigma$ )، دبی در واحد عرض ( $q$ )، ضریب تصحیح انرژی جنبشی ( $\alpha$ ) و شتاب ثقل ( $g$ ).

ضریب تصحیح انرژی جنبشی ( $\alpha$ ) در محدوده ۱/۰۵ تا ۱/۰۸ است و از آنجا که تأثیر چندانی در نتایج نخواهد داشت، لذا مقدار آن در این تحقیق برابر واحد در نظر گرفته شده است [۲۷]. لازم به ذکر است که این محدوده برای ضریب تصحیح انرژی جنبشی مربوط به اعداد معمول در کانال‌ها است.

حال با توجه به متغیرهای فوق‌الذکر می‌توان نوشت:

$$f(h_a, h_b, y_c, g, y, V, H_w, l_s, l_b, l_a, d_{50}, \rho, v, \sigma, q) = 0 \quad (1)$$

در معادله (۱) تعداد ۱۶ متغیر وجود دارد. با در نظر گرفتن عوامل  $V$ ,  $H_w$  به عنوان متغیرهای تکراری و با استفاده از تئوری  $\pi$  باکینگهام، تعداد ۱۳ پارامتر بی بعد زیر بدست می‌آیند:



شکل ۳. سرریز ۳ پلهای با شیب ۱:۳ و  $Q=66 \text{ lit/s}$  با آستانه های مستطیلی ( $d_{s_0}=40 \text{ mm}$ ,  $h_b/h_s=0.4$ )

Fig. 3. Spillway with 3 steps, slope=1:3 (V: H) and  $Q=66 \text{ lit/s}$ ,  $d_{s_0}=25 \text{ mm}$  including rectangular sills ( $d_{s_0}=40 \text{ mm}$ ,  $h_b/h_s=0.4$ )



شکل ۴. سرریز ۳ پلهای با شیب ۱:۲ و  $Q=45 \text{ lit/s}$  با آستانه های شیبدار ( $d_{s_0}=10 \text{ mm}$ ,  $h_a/h_s=0.25$ )

Fig. 4. Spillway with 3 steps, slope=1:2 (V: H) and  $Q=45 \text{ lit/s}$ ,  $d_{s_0}=10 \text{ mm}$  including inclined sills ( $d_{s_0}=10 \text{ mm}$ ,  $h_a/h_s=0.25$ )

رزیم جریان بر روی سرریزها را می‌توان به دو بخش ریزشی<sup>۱</sup> و غیرریزشی<sup>۲</sup> تقسیم‌بندی کرد. در جریان ریزشی، آب از پلهای به پله دیگر سقوط می‌کند. در این جریان، آب بر روی پلهای ضربه وارد کرده و افت انرژی بر اثر این ضربه و اختلاط جت آب بر روی هر یک از پلهای به وجود می‌آید و پرش هیدرولیکی رخ می‌دهد. برای ایجاد جریان ریزشی ارتفاع پلهای باید نسبتاً زیاد در نظر گرفته شود و این حالت برای دبی‌های کم و سرریزهای با شیب کم رخ می‌دهد.

$$\frac{\Delta E}{E_0} = f_1 \left( \frac{q^2}{gH_w^3}, \frac{d_{s_0}}{y_c}, \frac{y_c}{H_w}, \frac{y_c}{h_s}, \frac{h_a}{h_s}, \frac{h_b}{h_s}, S \right) \quad (6)$$

#### ۴- نتایج و بحث

در شکل‌های ۳ الی ۵ جریان از روی سرریزهای توری سنگی با شرایط هیدرولیکی متفاوت ارائه شده است. از طرفی پارامترهای مؤثر بر افت انرژی جریان به طور جداگانه بررسی و با دیگر مطالعات انجام شده، مقایسه‌های لازم صورت گرفته و یک رابطه تجربی بر اساس شرایط زبری که در ادامه به آن اشاره شده است، ارائه شده است.

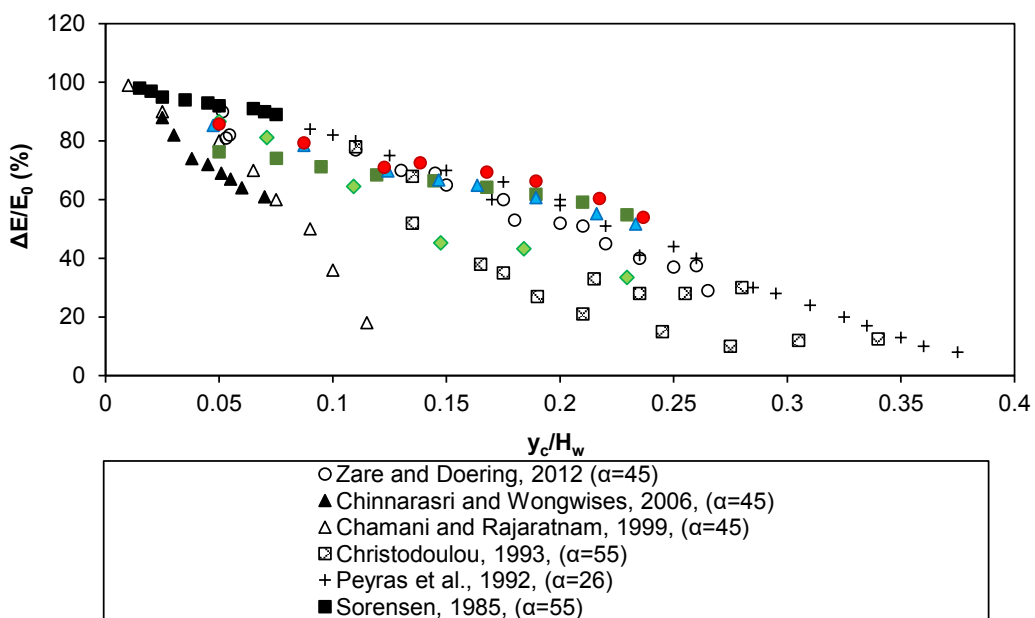
1 Nappe Flow

2 Skimming Flow



شکل ۵. سرریز ۳ پلهای با شیب ۱:۱ و  $Q=55$  lit/s،  $d_{50}=40$  mm با آستانه های شیبدار ( $d_{50}=40$  mm,  $h_a/h_s=0.5$ )

Fig. 5. Spillway with 3 steps, slope=1:1 ( $V: H$ ) and  $Q=55$  lit/s,  $d_{50}=40$  mm including inclined sills ( $d_{50}=40$  mm,  $h_a/h_s=0.5$ )



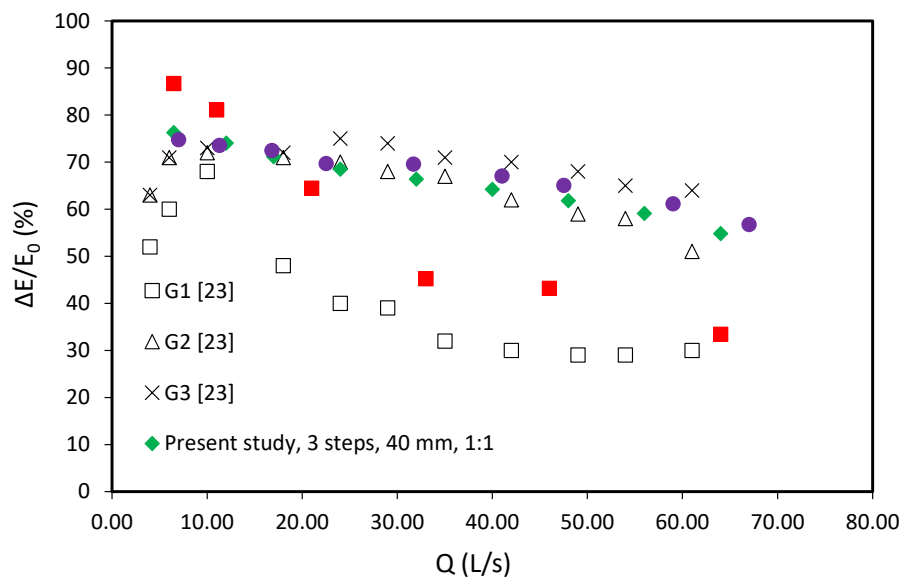
شکل ۶. تغییرات افت انرژی نسبی و عمق نسبی بحرانی و مقایسه با دیگر مطالعات انجام شده

Fig. 6. Variation of relative energy dissipation vs. relative critical depth and comparison with other studies

بحرانی برای سرریزهای توری سنگی ۳ پله‌ای با قطر متوسط ذرات ۱۰ و ۴۰ میلی‌متر و شیب نماهای پایین دست ۱:۱، ۱:۲ و ۱:۳ رسم شده است. همچنین مقایسه‌های لازم با سایر مطالعات انجام شده نشان داده شده است. قابل ذکر است که علامت‌های مشخص شده در شکل‌های زیر دارای معانی زیر هستند:

در جریان غیرریزشی، آب کاملاً از روی پله‌ها عبور می‌کند. جریان غیرریزشی در دیجی‌های بالا رخ داده؛ لذا طراحی سرریزهای پلکانی بر اساس رژیم جریان غیرریزشی صورت می‌گیرد که در ادامه روابطی برای تشخیص رژیم جریان ارائه شده است.

در شکل ۶ تغییرات نسبی افت انرژی جریان در مقابل عمق نسبی



شکل ۷. مقایسه بین نتایج این پژوهش با تحقیق آزمایشگاهی رجائی و همکاران (۱۳۹۶)  
Fig. 7. Comparison of results of this study with Rajaei *et al.* (2017) studies

جدول ۳. داده های آزمایشگاهی مربوط به آغاز رژیم جریان غیرریزشی

Table 3. Experimental data for onset of skimming regime

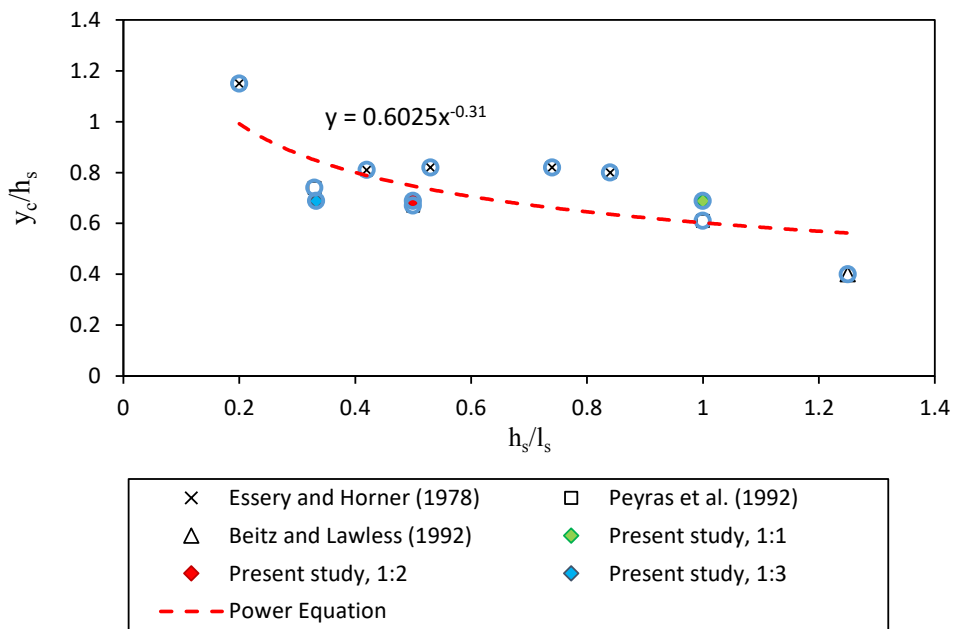
$y_c/h_s$	$h_s/l_s$	منبع
1/15	0/20	
0/84	0/42	
0/82	0/53	اسری و هورنر <sup>۱</sup> (۱۹۷۸) [۳۱]
0/82	0/74	
0/80	0/84	
0/74	0/33	
0/67	0/50	پیراس و همکاران (۱۹۹۲) [۷]
0/61	1/00	
0/40	1/25	بیتز و لاولس <sup>۲</sup> (۱۹۹۲) [۳۲]
0/688	1/00	
0/688	0/50	تحقیق حاضر
0/688	0/33	

<sup>۱</sup> Essery and Horner

<sup>۲</sup> Beitz and Lawless

۱۰ میلی متر تا یک مقدار دبی مشخص بیشتر از آن برای ذرات با قطر متوسط ۴۰ میلی متر است. همچنین با افزایش شدت جریان از قدرت جریان درون گذر کاسته شده و این جریان روگذر است که نقش اصلی را در استهلاک انرژی جریان ایفا می کند. لذا مطابق شکل ۶ با افزایش میزان دبی از میزان استهلاک انرژی می توان گفت که با افزایش شدت جریان، سرریزهای پله ای صلب و

به عنوان مثال ۱:۲، ۱۰ mm، ۳ spets<sup>۳</sup> به معنی سرریز توری سنگی پله ای با قطر متوسط ذرات ۱۰ میلی متر و شبکه نمای پایین دست به ۲ (عمودی به افقی) است. مطابق شکل ۶ با افزایش میزان دبی از میزان استهلاک انرژی جریان کاسته شده و این میزان تغییرات برای ذرات با قطر متوسط



شکل ۸. شروع رژیم جریان غیر ریزی های پلهای  
Fig. 8. Onset of skimming regime in stepped spillways

قرار دادند.

مطابق شکل ۷ تلفات انرژی در سرریزهای گابیونی بدون رسوبات تا حد اکثر ۷۵ درصد به دست می آید. استهلاک انرژی در آزمایش های رجایی و همکاران (۱۳۹۶) برای سرریز گابیونی با یک پله نسبت به دو و سه پله ای کمتر بوده، ولی این مقدار برای سرریزهای دو و سه پله ای تقریباً برابر است. هرچند کمی برای سرریز سه پله ای نسبت به دو پله ای افزایش نشان داده است. مطابق شکل فوق نتایج این تحقیق همخوانی بسیار خوب و نزدیکی با نتایج تحقیقات رجایی و همکاران (۱۳۹۶) برای سرریزهای دو و سه پله ای دارد و اندک اختلاف موجود می تواند ناشی از اختلاف در اندازه ذرات سنگی بکار رفته در بدنه سرریز باشد.

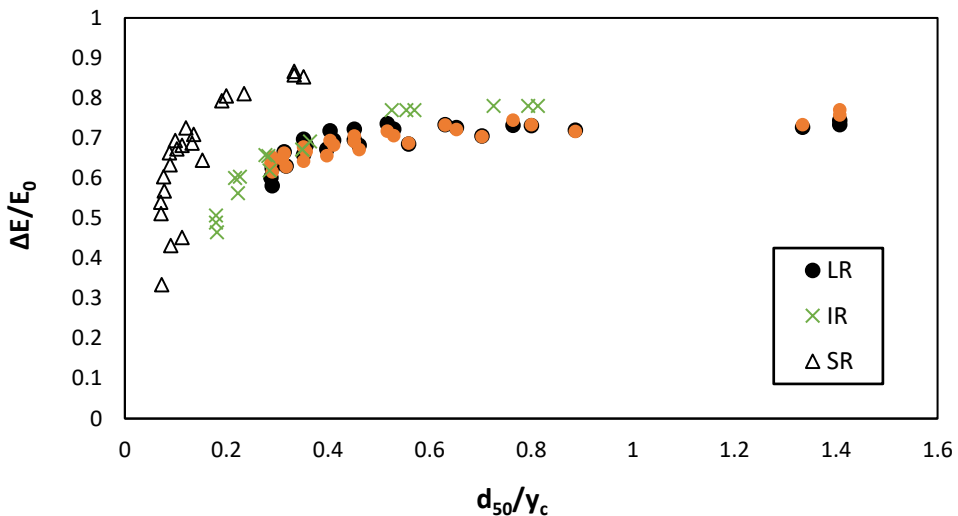
تحقیقات نشان داده است که افزایش دبی یا افزایش شیب نمای پایین دست سرریز منجر به شکل گیری جریان غیرریزی می شود. مهم ترین پارامتر به عنوان معیار جریان غیرریزی،  $h/l$  پیشنهاد شده است [۲۵، ۲۸، ۲۹]. چانسون (۱۹۹۴) و چینناراسی (۲۰۰۲) با جمع آوری داده های آزمایشگاهی از مطالعات انجام گرفته شده بر روی سرریزهای پله ای نشان دادند که جریان غیرریزی تابعی از دبی، ارتفاع و طول پله های سرریز است [۳۰، ۲۸].

طبق روابط ارائه شده توسط این دانشمندان (روابط (۵) و (۷)) در

توری سنگی عمل کردی تقریباً یکسان خواهد داشت. علاوه بر آن، کمترین استهلاک انرژی در سرریز ۱:۱، ۱۰ mm، ۳spets رخ داده است. همچنین شیب نمای پایین دست سرریزهای توری سنگی تأثیر چندانی بر استهلاک انرژی جریان ندارد.

مطابق شکل ۶، نتایج این تحقیق با داده های حاصل از مطالعات سایر محققین مقایسه شده است. ملاحظه می شود که نتایج این تحقیق با نتایج زار و دورینگ (۲۰۱۲)، کریستودلو (۱۹۹۳) و پیراس و همکاران (۱۹۹۲) همخوانی قابل قبولی دارد. اختلافات موجود بین مطالعات انجام شده توسط محققین مذکور با نتایج تحقیق حاضر به این دلیل است که جریان در اکثر آزمایش های سایر محققان فقط به صورت جریان روگذر بوده، اما در تحقیق حاضر جریان از ابتدا به صورت درون گذر/ روگذر صورت گرفته است.

در شکل ۷ مقایسه بین نتایج این پژوهش با تحقیق آزمایشگاهی رجایی و همکاران (۱۳۹۶) ارائه شده است. رجایی و همکاران (۱۳۹۶) مدل آزمایشگاهی سرریز های پلکانی گابیونی در سه حالت ۱، ۲ و ۳ پله ( $G : Gn$ ) معرف مدل گابیونی و  $n$  معرف تعداد پله ها و ارتفاع هر پله ۲۰ سانتی متر است) با شیب بدنه در بالادست قائم و در پایین دست ۱:۱ را ساختند و در یک فلوم آزمایشگاهی به عرض ۵۰ سانتی متر و طول ۱۱ متر تحت دبی های مختلف مورد آزمایش



شکل ۹. تغییرات نسبی آفت انرژی نسبت به زبری نسبی

Fig. 9. Variation of relative energy dissipation vs. relative roughness

جدول ۴. روابط ارائه شده جهت تشخیص رژیم جریان غیرریزشی

Table 4. Produced equations for determination of skimming regime

رابطه	شماره رابطه	منبع
$\frac{(d_c)_{onset}}{h} \geq 1.057 - 0.465 \frac{h}{l}$	(۷)	[۲۸] چانسون (۱۹۹۴)
$\frac{(y_c)_{onset}}{h_s} \geq 0.972 - 0.364 \frac{h_s}{l_s}$	(۸)	تحقیق حاضر (رابطه خطی)
$\frac{d_c}{h} \geq 0.80 \left( \frac{h}{l} \right)^{-0.22}$	(۹)	[۳۰] چینتاراسری (۲۰۰۲)
$\frac{y_c}{h_s} \geq 0.602 \left( \frac{h_s}{l_s} \right)^{-0.31}$	(۱۰)	تحقیق حاضر (رابطه توانی)

می کند. مشاهده ها در سرریزهای پله ای توری سنگی نشان داد که جدا از نوع مصالح بکار گرفته شده در بدنه سرریز ( $d_{50}$ )، زمانی که شبکه های پایین دست سرریز پله ای ۱:۱ است، جریان غیرریزشی در حداقل دبی ۶۵ لیتر بر ثانیه رخ می دهد. اما با کمتر شدن شبکه های پایین دست سرریز (۱:۲ و ۱:۳)، با توجه به این میزان دبی، جریان غیرریزشی شکل نگرفت و شکل گیری چنین جریانی مستلزم شدت جریان بیشتر است. لذا با توجه به نتایج به دست آمده از تحقیقات قبلی و مقایسه آن ها با تحقیق حاضر، روابطی جهت شناسایی رژیم جریان غیرریزشی در جدول ۴ ارائه می شود.

ذکر این نکته لازم و ضروری است که روابط (۸) و (۱۰) برای  $h_s/l_s$  در محدوده  $0/2$  الی  $1/3$  حاصل شده است. لذا خارج از این محدوده باید

جدول ۴) جریان غیر ریزشی در دبی های بزرگ تر از مقدار بحرانی تعريف شده  $(y_c/h)$  رخ می دهد. در تحقیق حاضر نیز سعی شده است تا صحت روابط مذکور برای شناسایی جریان غیرریزشی بررسی شده و با مشاهده های به دست آمده در این تحقیق مقایسه شود. در جدول ۳ داده های مربوط به مقادیر دبی بحرانی که در آن رژیم جریان غیرریزشی شروع می شود، توسط دانشمندان قبلی ارائه شده است.

در شکل ۸ سعی بر آن شده است تا با استفاده از پارامترهای  $y_c/h_s$  و  $y_c/l_s$  (عمق بحرانی،  $h_s$  و  $l_s$ ) به ترتیب ارتفاع و طول پله سرریز) رابطه ای به منظور تشخیص رژیم جریان غیرریزشی<sup>۱</sup> ارائه شود. در رژیم جریان غیرریزشی جریان آب کاملاً از روی پله ها عبور

<sup>1</sup> Skimming flow

### جدول ۵. شرایط زبری در تحقیق حاضر و دیگر مطالعه های انجام شده

Table 5. Roughness conditions in this study and the other conducted studies

بازرست (۱۹۷۸)	[۳۵] پاگلیارا و همکاران (۲۰۰۶)	تحقیق حاضر	شرایط زبری
$h_u/d_{84} < 1.2$	$h_c/d_{50} < 2.5$	$0.75 < y_c/d_{50} < 2.99$	زبری با مقیاس بزرگ (LR)
$1.2 < h_u/d_{84} < 4.0$	$2.5 < h_c/d_{50} < 6.6$	$2.99 < y_c/d_{50} < 5.50$	زبری با مقیاس متوسط (IR)
$h_u/d_{84} > 4.0$	$6.6 < h_c/d_{50} < 42$	$5.50 < y_c/d_{50} < 13.76$	زبری با مقیاس کوچک (SR)

### جدول ۶. ضرایب ثابت در رابطه (۹) با توجه به شرایط زبری

Table 6. Constant coefficients in Eq. (۹) regarding to roughness conditions

$R^2$	$A$	$B$	$C$	زبری
۰/۸۳	۰/۷۶۶	-۰/۰۴۳۶	-۰/۰۳۲۳	زبری با مقیاس بزرگ (LR)
۰/۹۷۵	۰/۸۶۸	-۰/۰۶۸۶	-۰/۰۲۲۱	زبری با مقیاس متوسط (IR)
۰/۸۷	۰/۸۷۱	-۰/۰۳۴۲	-۰/۱۳۶	زبری با مقیاس کوچک (SR)

انرژی نسبی در زبری با مقیاس کوچک است.

سه محدوده مختلف از شرایط زبری مصالح در رودخانه ها که برای اولین بار توسط بازرست<sup>۱</sup> (۱۹۷۸) و بازرست و همکاران (۱۹۸۱) تقسیم بندی و معروفی شده است شامل: زبری با مقیاس بزرگ (LR)، زبری با مقیاس متوسط (IR)<sup>۲</sup> و زبری با مقیاس کوچک (SR)<sup>۳</sup> است [۳۴، ۳۳].

در این تحقیق سعی بر آن شده است تا برای مصالح بکار گرفته شده در بدنه سرریزهای پله ای توری سنگی، شرایط زبری بر اساس مؤلفه بی بعد  $y_c/d_{50}$  مطابق جدول ۵ ارائه شود. همچنین سعی شده است تا یک رابطه تجربی برای محاسبه افت انرژی نسبی جریان بر اساس شرایط زبری تعریف شده در جدول ۵ و شبی نمای پایین دست سرریزهای پله ای ارائه شود. لذا بدین منظور رابطه (۱۱) و ضرایب ثابت آن در جدول ۶ ارائه شده است (در جدول مذکور  $R^2$  ضریب همبستگی است). در رابطه (۱۱)،  $S$  شبی نمای پایین دست سرریز بوده و محدوده تغییرات آن بین ۰/۰۳۳ الی ۱ است.

با احتیاط رفتار کرد (شکل ۸).

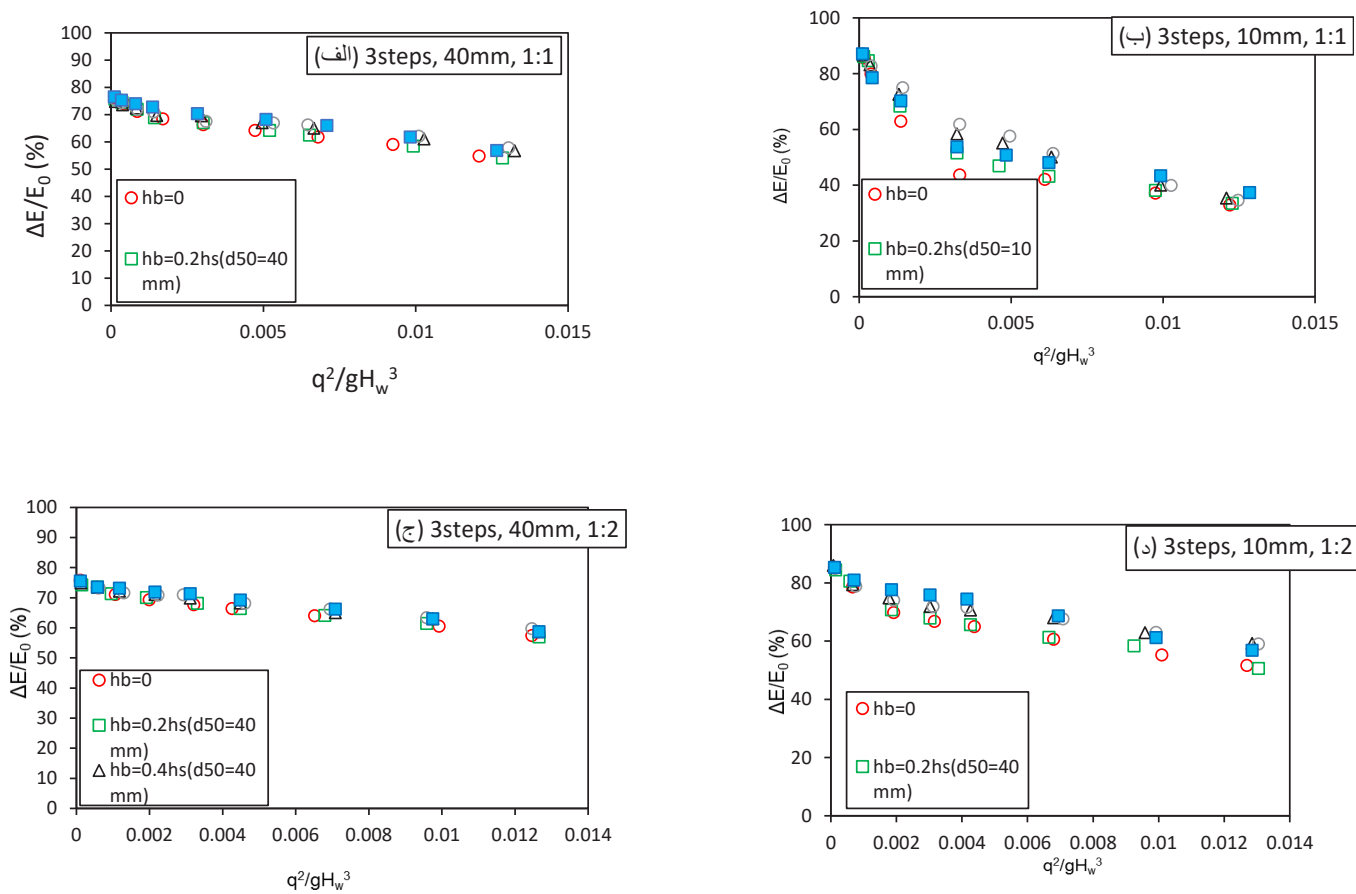
در شکل ۹ تغییرات نسبی افت انرژی نسبت به زبری نسبی مصالح بکار گرفته شده در بدنه سرریز ارائه شده است. شکل ۹ نشان می دهد که تغییرات نسبی افت انرژی با افزایش دبی برای زبری با مقیاس بزرگ تدریجی است. اما این تغییرات برای زبری با مقیاس کوچک ناگهانی است. همچنین شکل نشان می دهد که تا یک مقدار مشخص دبی، افت انرژی نسبی برای قطر متوسط ذرات با مقیاس کوچک (۱۰ میلی متر) به ترتیب بیشتر از آن برای قطر متوسط ذرات با مقیاس متوسط و بزرگ (۲۵ و ۴۰ میلی متر) است و از یک مقدار دبی مشخص به بعد، افت انرژی نسبی برای قطر متوسط ذرات با مقیاس بزرگ (۴۰ میلی متر) به ترتیب بیشتر از آن برای قطر متوسط ذرات با مقیاس متوسط و کوچک (۲۵ و ۱۰ میلی متر) می شود. دلیل اصلی این روند به میزان نفوذپذیری مصالح بکار رفته در بدنه سرریز پذیر می شود. به عبارتی دیگر، طبق مشاهده ها زمانی که مصالح بدنه سرریز ۱۰ میلی متر است، با افزایش دبی، سطح آب پشت سرریز توری سنگی سریع تراز حالتی که مصالح بدنه سرریز ۴۰ میلی متر است، بالا می آید و جریان روگذر شکل می گیرد و همین امر (نفوذپذیری پایین ذرات با قطر کوچک) باعث تغییرات ناگهانی افت

۱ Bathurst

۲ Large scale roughness

۳ Intermediate scale roughness

۴ Small scale roughness



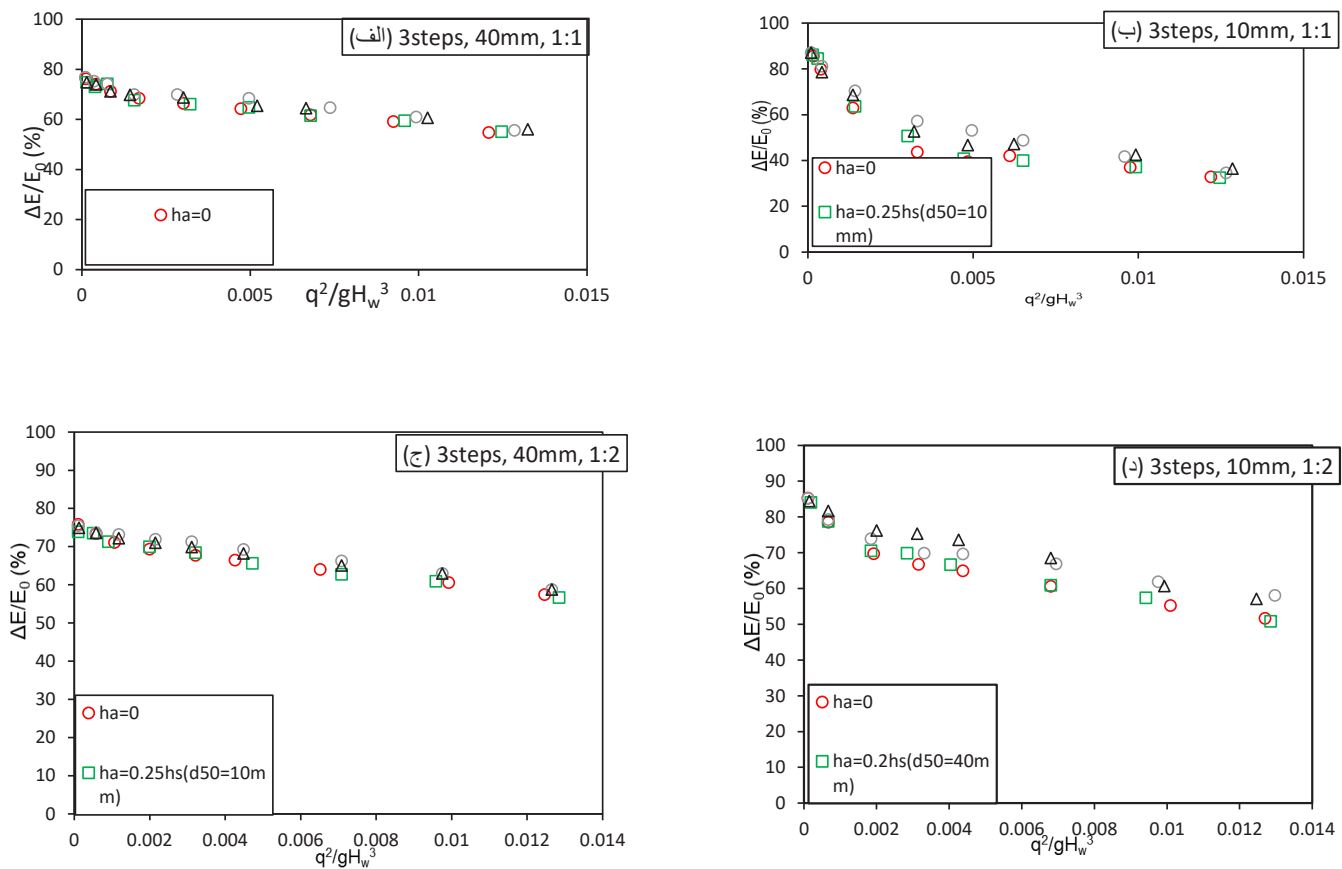
شکل ۱۰. تغییرات افت انرژی نسبی نسبت به دبی جریان برای آستانه های مستطیلی توری سنگی با قطر متوسط ذرات مختلف

Fig. 10. Variation of relative energy dissipation vs. discharge for rectangular gabion end sills including different sand diameters

می کند. اما این انرژی جریان به دلیل نفوذپذیری کمتر جریان آب از لبه‌لای ذرات ریزدانه (۱۰ میلی متر) کمتر مستهلک شده است. لذا می توان گفت که استفاده از آستانه (مستطیلی یا شیب دار) در سرریزهای پله‌ای توری سنگی با قطر متوسط ذرات درشت تر عملأً تأثیر چندانی در استهلاک انرژی جریان نداشته و تأثیر استفاده از آستانه با کم شدن شیب نمای پایین دست سرریز تقریباً قابل اغماض می شود (شکل های ۱۰ ج و ۱۱ ج). بنابراین می توان انتظار داشت که تأثیر آستانه (مستطیلی یا شیب دار) بر استهلاک انرژی جریان در سرریزهای پله‌ای صلب بیشتر از سرریزهای پله‌ای توری سنگی باشد. مطابق شکل های ۱۰ و ۱۱ با بزرگ تر شدن آستانه های مستطیلی و شیب دار (بزرگ شدن نسبت های  $h_a/h_b$  و  $h_a/h_s$ ) افت انرژی نسبی نیز افزایش می یابد. در شکل های ۱۰ و ۱۱ که آزمایش ها بر روی سرریز ۳ پله‌ای با قطر متوسط ذرات ۱۰ میلی متر در بدنه و شیب نمای پایین دست ۱:۱ و ۱:۲ صورت گرفته، در یک محدوده

$$\frac{\Delta E}{E_0} = A + \frac{B}{(d_{50}/y_c)} + C \times \ln(S) \quad (11)$$

در شکل های ۱۰ و ۱۱ تغییرات نسبی افت انرژی نسبت به شدت جریان بر روی سرریزهای پله‌ای توری سنگی با آستانه های مستطیلی و شیب دار توری سنگی ارائه شده است. مطابق شکل های ۱۰ (الف) و ۱۱ (الف و ج) زمانی که قطر متوسط ذرات مصالح در بدنه سرریز پله‌ای ۴۰ میلی متر است، آستانه (مستطیلی و شیب دار) توری سنگی تأثیر قابل توجهی بر افت انرژی نسبی نشان نداد. اما مطابق شکل های ۱۰ (ب و د) و ۱۱ (ب و د) زمانی که قطر متوسط ذرات مصالح در بدنه سرریز پله‌ای ۱۰ میلی متر است، تأثیر آستانه توری سنگی بر استهلاک انرژی جریان مشهودتر است. دلیل اصلی آن را با توجه به مشاهده ها این گونه می توان توضیح داد که در ذرات با قطر متوسط بزرگ تر (۴۰ میلی متر) با عبور کردن جریان آب از لبه‌لای ذرات درشت دانه سهم بیشتری از انرژی جریان را مستهلک



شکل ۱۱. تغییرات افت انرژی نسبی نسبت به دبی جریان برای آستانه های شبیدار توربینسنجی با قطر متوسط ذرات مختلف

**Fig. 11. Variation of relative energy dissipation vs. discharge for inclined gabion end sills including different sand diameters**

متوجه متوسط ۱۰ میلی متر شد و با افزایش دبی تأثیرش بیشتر شد. با توجه به مشاهده ها، در دبی های کم به دلیل نفوذپذیری بالای آستانه های حاوی ذرات درشت دانه، انرژی کمتری از جریان مستهلك شد. اما زمانی که شدت جریان بیشتر شد و بخش بیشتری از جریان به صورت روگذر از سرریز پله ای توری سنگی عبور کرد، در اثر برخورد جریان آب با مصالح درشت دانه (۰.۴۰ میلی متری) انرژی بیشتری از جریان نسبت به ذرات ریزدانه مستهلك شد.

از طرفی زمانی که شبیه نمای پایین دست سرریز پله ای با قطر متوسط ۲۰ میلی متر کم می شود، تأثیر آستانه ها (مستطیلی یا شبیه دار) با هر قطر متوسطی بر افت انرژی جریان به دلیل نفوذپذیری بالای مصالح درشت دانه کم رنگ تر می شود (مقایسه شکل های ۱۰ج و ۱۱ج). اما با کاهش شبیه نمای پایین دست در سرریزهای پله ای با قطر متوسط ۱۰ میلی متر به دلیل نفوذپذیری پایین مصالح ریزدانه، تأثیر آستانه با هر قطر متوسطی بر افت انرژی جریان پررنگ تر شده

از دبی تأثیر آستانه مستطیلی با مشخصات  $d_{50}=10, h_b=0.5h_s$  mm بیشتر از آستانه مستطیلی با مشخصات  $d_{50}=40, h_b=0.5h_s$  mm است. اما با افزایش دبی این روند برعکس می شود. لازم به ذکر است که این روند در خصوص آستانه های شبیه دار نیز صدق می کند (شکل های ۱۱ب و ۱۱د). دلیل چنین روندی را می توان با توجه به مشاهده ها چنین توصیف کرد که زمانی که شدت جریان کم است به دلیل نفوذپذیری کم آستانه های (مستطیلی یا شبیه دار) حاوی ذرات با قطر متوسط ۱۰ میلی متر، آب بیشتری در پشت آستانه ها جمع شده و بیشتر شبیه به یک حوضچه آرامش عمل می کنند و تا یک مقدار از شدت جریان می توانند انرژی بیشتری از جریان را مستهلك کنند. ولی با افزایش دبی، از میزان کارایی آستانه ها کاسته می شود. در مقابل، زمانی که از آستانه های (مستطیلی یا شبیه دار) حاوی ذرات با قطر متوسط ۴۰ میلی متر استفاده شد، در دبی های کم تأثیر آستانه بر افت انرژی نسبی کمتر از آستانه های حاوی ذرات با قطر

۱۰ میلی متر به دلیل نفوذپذیری پایین، بخشی از انرژی باقی مانده جریان روگذر توسط آستانه های توری سنگی مستهلك شد. در سرریز با مصالح ۱۰ میلی متر در یک محدوده از دبی ۴۵ لیتر بر ثانیه) تأثیر آستانه مستطیلی با مشخصات  $d_{50}=10 \text{ mm}$ ,  $h_b=0.5h_s$  و آستانه مستطیلی با مشخصات  $d_{50}=40 \text{ mm}$ ,  $h_b=0.5h_s$  می باشد.

اما با افزایش دبی این روند بر عکس می شود.

- تأثیر آستانه ها بر افت انرژی جریان در سرریز با مصالح ۴۰ میلی متر و شیب نمای پایین دست ۱:۲ حدود ۱۰ درصد بیشتر از همان سرریز با شیب نمای پایین دست ۱:۱ بوده و در سرریز با مصالح ۱۰ میلی متر و شیب نمای پایین دست ۱:۲ حدود ۳۰ الی ۳۵ درصد بیشتر از همان سرریز با شیب نمای پایین دست ۱:۱ است. لذا وجود آستانه ها در سرریز پله ای با بدنه مصالح ۱۰ و ۴۰ میلی متر به ترتیب بیشترین و کمترین تأثیر را بر افت انرژی جریان دارند. تأثیر آستانه های مستطیلی بر افت انرژی جریان حدود ۳ الی ۴ درصد بیشتر از تأثیر آستانه های شیب دار است. لذا بسته به نوع کاربرد، در صورت استفاده از سرریز با مصالح بزرگ مقیاس، نیازی به آستانه های انتهایی بر روی پله های سرریز نبوده است؛ اما در صورت استفاده از سرریز با مصالح کوچک دانه (که عملکردی مشابه سرریزهای صلب دارند) استفاده از آستانه های مستطیلی بر روی پله های سرریز برای دست یافتن به حداکثر استهلاک انرژی لازم و ضروری می باشد.
- اندازه گرداب های چرخشی و جت آب ناشی از برخورد جریان با آستانه ها در سرریزهای پله ای با آستانه مستطیلی به ترتیب بزرگ و کوچک تر از آن در سرریزهای پله ای با آستانه شیب دار است.

## مراجع

- [1] Ohtsu, Y. Yasuda, M. Takahashi, Flow characteristics of skimming flows in stepped channels, Journal of Hydraulic Engineering, 9(130) (2004) 869-860.
- [2] C. Chinnarasri, S. Donjadee, U. Israngkura, Hydraulic characteristics of gabion-stepped weirs, Journal of Hydraulic Engineering, 8(134) (2008) 1152-1147.
- [3] F. Salmasi, M. Chamani, D.F. Zadeh, Experimental study of energy dissipation over stepped gabion spillways with low heights, Iranian Journal of Science and Technology. Transactions of Civil Engineering, 36(C2) (2012) 253.
- [4] H.I. Mohamed, Flow over gabion weirs, Journal of

است (مقایسه شکل های ۱۰ و ۱۱). به عبارتی دیگر می توان انتظار داشت که در سرریزهای پله ای صلب با شیب نمای پایین دست کم، تأثیر آستانه (مستطیلی و شیب دار) بر افت انرژی جریان بیشتر از آن در سرریزهای پله ای با شیب نمای پایین دست زیاد باشد.

همچنین نتایج نشان داد که تأثیر آستانه مستطیلی بر افت انرژی جریان بیشتر از آستانه شیب دار بوده و اندازه گرداب های چرخشی و جت آب (جهش آب) در پله های دارای آستانه مستطیلی به ترتیب بزرگ تر و کوچک تر از آن در پله های دارای آستانه شیب دار است

## ۵- نتیجه گیری

در این تحقیق مدل های فیزیکی مختلفی از سرریزهای پله ای توری سنگی ساخته و مورد آزمایش قرار گرفت. هدف بررسی میزان افت انرژی جریان در سرریزهای پله ای توری سنگی است. متغیرهای طراحی شامل دبی جریان، شیب نمای پایین دست سرریز، آستانه انتهایی پله ها و شرایط زبری مصالح به کار رفته در بدنه سرریز هستند. نتایج نشان داد که:

• با افزایش شدت جریان افت انرژی جریان کاهش می یابد و با توجه به رابطه (۱۱) شرایط زبری بیشترین نقش را در برآورد افت انرژی جریان ایفا می کند.

• تغییرات نسبی افت انرژی جریان با افزایش دبی برای زبری با مقیاس بزرگ، تدریجی و این تغییرات برای زبری با مقیاس کوچک ناگهانی است.

• رژیم جریان غیرریزشی تابعی از دبی جریان، طول و ارتفاع پله های سرریز است.

• افزایش دبی و یا افزایش شیب نمای پایین دست سرریز، شکل گیری جریان غیرریزشی را سهل می کند. شکل گیری جریان غیرریزشی در سرریزهای با شیب نمای پایین دست کم مستلزم دبی بیشتر است.

• سرریز سه پله ای با زبری بزرگ مقیاس (۴۰ میلی متری) حدودا ۲۳ درصد بیشتر از همان سرریز با زبری کوچک مقیاس (۱۰ میلی متری) انرژی جریان را مستهلك می کند. در سرریزهای پله ای توری سنگی با مصالح ۴۰ میلی متر به دلیل نفوذپذیری بالا، آستانه مستطیلی یا شیب دار) توری سنگی تأثیر چندانی بر افت انرژی نسبی جریان ندارد. اما در سرریزهای پله ای توری سنگی با مصالح

- for Science and Engineering, 3(38) (2013) 588-579.
- [16] H.K. Zare, J.C. Doering, Effect of rounding edges of stepped spillways on the flow characteristics, Canadian Journal of Civil Engineering, 2(39) (2012) 153-140.
- [17] S. Felder, H. Chanson, Effects of Step Pool Porosity upon Flow Aeration and Energy Dissipation on Pooled Stepped Spillways, Journal of Hydraulic Engineering, 4(140) (2014) 04014002.
- [18] D. Wuthrich, H. Chanson, Aeration performances of a gabion stepped weir with and without capping, Environmental Fluid Mechanics, 4(15) (2014) 730-711.
- [19] G. Zhang, H. Chanson, Gabion stepped spillway: interactions between free-surface, cavity, and seepage flows, Journal of Hydraulic Engineering, 5(142) (2016) 06016002.
- [20] E. Asadi, A.H. Dalir, D. Farsadizadeh, Y. Hassanzaheh, F. Salmasi, Energy dissipation of skimming flow with different sill dimensions in stepped spillway model, International Journal of Agriculture and Biosciences, 3(4) (2015) 121-118.
- [21] E.A. Elnikhely, Investigation and analysis of scour downstream of a spillway, Ain Shams Engineering Journal, 4(9) (2018) 2282-2275.
- [22] G.M.A. Aal, M. Sobeah, E. Helal, M. El-Fooly, Improving energy dissipation on stepped spillways using breakers, Ain Shams Engineering Journal, (2017).
- [23] S.H. Rajaei, S.R. Khodashenas, K. Esmaili, Laboratory Analysis of Energy Losses in Gabion Steeped Spillways With and Without Sedimentation at Upstream, Iranian Journal of Irrigation and Drainage, 5(11) (2017) 910-900 (In Persian).
- [24] M. Sadrianzadeh, M. Mahmoudian, A. Fathi, H. Eslami, Investigation of the Concentration of Mixed Air With the Flow of Water at Different Points on the Stepped Spillway in the Flow Non-falling With the FLUENT Model and a Physical Model, Journal of Water Engineering, 2(4) (2016) 58-50 (In Persian).
- [25] C. Chinnarasri, S. Wongwises, Flow regimes and energy loss on chutes with upward inclined steps, Canadian Journal of Civil Engineering, 5(31) (2004) 879-870.
- Irrigation and Drainage Engineering, 8(136) (2009) -573 577.
- [5] R.M. Sorensen, Stepped spillway hydraulic model investigation, Journal of Hydraulic Engineering, 12(111) (1985) 1472-1461.
- [6] W. Rand, Flow geometry at straight drop spillways, in: Proceedings of the American Society of Civil Engineers, ASCE, 1955, pp. 13-1.
- [7] L.A. Peyras, P. Royet, G. Degoutte, Flow and energy dissipation over stepped gabion weirs, Journal of Hydraulic Engineering, 5(118) (1992) 717-707.
- [8] G.C. Christodoulou, Energy dissipation on stepped spillways, Journal of Hydraulic Engineering, 5(119) (1993) 650-644.
- [9] M. Chamani, N. Rajaratnam, Characteristics of skimming flow over stepped spillways, Journal of Hydraulic Engineering, 4(125) (1999) 368-361.
- [10] U. Fratino, A. Piccinni, G. de Marinis, Dissipation efficiency of stepped spillways, in: H.-E. Minor and W. Hager, Proceeding of the International Workshop on Hydraulics of Stepped Spillways, IAHR, AA Balkema/ Rottersam/Brookfield, Zurich, Switzerland, 2000.
- [11] T. Chaturabul, Experimental study of flow behavior through stepped channels with end sills, MS Thesis, King Mongkut's University of Technology, Thailand, 2002.
- [12] C. Chinnarasri, S. Wongwises, Flow Patterns and Energy Dissipation over Various Stepped Chutes, Journal of Irrigation and Drainage Engineering, 1(132) (2006) 76-70.
- [13] A. Hamed, A. Mansoori, I. Malekmohamadi, H. Roshanaei, Estimating energy dissipation in stepped spillways with reverse inclined steps and end sill, in: World Environmental and Water Resources Congress 2011: Bearing Knowledge for Sustainability, 2011, -2528 2537.
- [14] M. Tuna, Effect of offtake channel base angle of stepped spillway on scour hole, Iranian Journal of Science and Technology. Transactions of Civil Engineering, 36(C2) (2012) .239
- [15] M.C. Tuna, M.E. Emiroglu, Effect of step geometry on local scour downstream of stepped chutes, Arabian Journal

- [32] E. Beitz, M. Lawless, Hydraulic model study for dam on GHFL 3791 Isaac River at Burton Gorge, Water Resources Commission Report, (1992).
- [33] J.C. Bathurst, Flow resistance of large-scale roughness, Journal of Hydraulics Division, 12(104) (1978) 1603-1587.
- [34] J.C. Bathurst, D.B. Simons, R.-M. Li, Resistance equation for large-scale roughness, Journal of Hydraulics Division, 12(107) (1981) 1613-1593.
- [35] S. Pagliara, P. Chiavaccini, Energy dissipation on block ramps, Journal of Hydraulic Engineering, 1(132) (2006) 48-41.
- [26] D. Stephenson, Gabion energy dissipators, in: Proc. 13th ICOLD Congress, 1979, pp. 43-33.
- [27] C.I. Chen, Momentum and energy coefficients based on power-law velocity profile, Journal of Hydraulic Engineering, 11(118) (1992) 1584-1571.
- [28] H. Chanson, Hydraulics of skimming flows over stepped channels and spillways, Journal of Hydraulic Research, 3(32) (1994) 460-445.
- [29] N. Rajaratnam, Skimming flow in stepped spillways, Journal of Hydraulic Engineering, 4(116) (1990) 591-587.
- [30] C. Chinnarasri, Assessing the flow resistance of skimming flow on the step faces of stepped spillways, Dam Engineering, 4(12) (2002) 322-303.
- [31] I.T.S. Essery, M.W. Horner, The hydraulic design of stepped spillways, Construction Industry Research and Information Association, 1971.

چگونه به این مقاله ارجاع دهیم

F. Salmasi, S. Razi, A. Hosseinzadeh Dalir, Laboratory Study of the Hydraulics of Flow in Gabion Stepped Weirs, Amirkabir J. Civil Eng., 53(8) (2021) 3169-3186.

DOI: [10.22060/ceej.2020.17256.6502](https://doi.org/10.22060/ceej.2020.17256.6502)



